

Верховлюк А.М., Нетребко Д.М.

(Фізико-технологічний інститут металів та сплавів НАН України, м. Київ)

ВПЛИВ ХІМІЧНОГО ТА ФАЗОВОГО СКЛАДІВ СПЛАВІВ НА ОСНОВІ МІДІ НА ЇХ ЕЛЕКТРОПРОВІДНІСТЬ ТА КОРОЗІЙНІ ВЛАСТИВОСТІ

E-mail: vyshgorodk@ukr.net

Анотація

Досліджено електропровідність та корозійні властивості сплавів системи Cu-Zn, які леговані алюмінієм та марганцем. Встановлено, що добавки четвертих елементів суттєво знижують електропровідність даних систем. Корозійна стійкість цих сплавів набагато вища в лужному середовищі, ніж в кислому.

Ключові слова: електропровідність, корозійна стійкість, монетний сплав, легування, латунь, штучні «ніт» та «слина».

Основними характеристиками при розробці сплавів для монет різних номіналів являються: задана електропровідність, корозійна стійкість, колір технологічність та вартість нижча за номінал [1].

В промисловості широко використовуються латуні, які є відносно дешевими і мають задовільні технологічні властивості. Однак, подвійні сплави системи міді з цинком мають досить високу електропровідність (на рівні 40% IACS) і низьку корозійну стійкість. Легування таких латуней суттєво змінює їх властивості і це питання на сьогодні є актуальним і не вивченим до кінця [2].

В зв'язку з цим метою даної роботи була розробка нових монетних сплавів на основі міді з заданою питомою електропровідністю (на рівні 18% IACS) і корозійною стійкістю на рівні з еталонним сплавом.

В якості еталонного сплаву було обрано бронзу CuAl6Ni2, яку використовують для виготовлення обігових розмінних монет. В цілому сплав має хороші експлуатаційні властивості, золотавий колір, відносно високу корозійну стійкість, але високий вміст алюмінію вимагає особливих підходів до процесу плавки та розливки в зв'язку з інтенсивним утворенням оксиду Al₂O₃. Також при карбуванні монет з бронзи має місце зміна питомої електропровідності в залежності від ударного навантаження.

Сукупність вище вказаних характеристик притаманна однофазним сплавам, в окремих випадках – двофазним, з невеликою концентрацією другої фази.

Вибір легуючих елементів для латуней обмежений. З літературних джерел відомо, що легуючими елементами, які знижують електропровідність є: Ni, Fe, Sn, Al, Mn, Pb, Si. Перераховані елементи за їх впливом на електропровідність сплавів на основі міді можна розмістити в наступний ряд: Si → Fe → Mn → Al → Sn [3].

Кремній значно погіршує здатність сплавів до пластичної деформації, тому його використання недоцільне. Залізо в якості домішки присутнє у всіх сплавах на основі міді, його вміст важко контролювати.

Виходячи з вищесказаного, перспективними металами для легування латуней з метою одержання заданої електропровідності є: Sn, Al, Mn, а також Ni, який розширює область α-фази [4]. Проте найбільш прийнятними для сплавів, які добре деформуються є алюміній і марганець.

Вплив легування марганцем на електропровідність вивчали з використанням базових сплавів CuZn10 та CuZn22,5.

Вимірювання електропровідності здійснювали за допомогою атестованого приладу «SMP-1», при частоті струму збудження 240 Гц. Зразки для вимірювань мали діаметр не менше 15 мм, товщину – не менше 1,35 мм, шорсткість поверхні Ra ≤ 0,63 мкм. Слідкували, щоб відхилення товщини зразків в одній серії було не більше 1,5% від заданої.

Для кожної серії сплавів обирали по три зразки і вимірювання проводили в трьох точках з однієї та іншої сторони.

Результати середніх значень питомої електропровідності для литих та термооброблених зразків наведено на рис. 1, 2.

Дослідження показали, що потрібні сплави системи CuZnMe (де Me = Sn, Al), в однофазній області мають питому електропровідність на 7...8% IACS вище заданого рівня, тому потрібно використовувати комплексне легування, дбаючи одночасно про підвищення корозійної стійкості та досягнення яскраво-жовтого кольору.

Для досліджених сплавів був обраний наступний режим термооброблення: нагрів до 800 °C, витримка протягом 2 год. в засипці Y₂O₃ і охолодження з піччю.

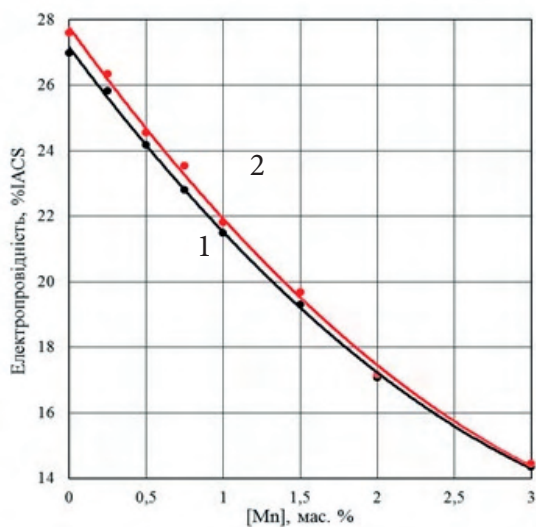


Рис. 1 Вплив концентрації марганцю на електропровідність сплаву Cu22,5Zn0,5Al у литому (1) та відпаленому (2) станах при частоті електромагнітного потоку 240 Гц

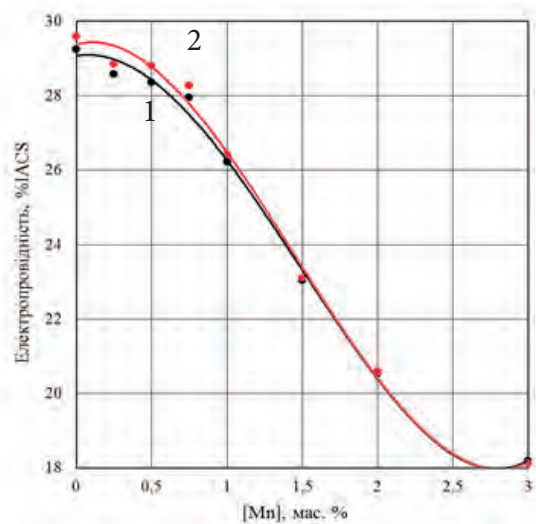


Рис. 2 Вплив концентрації марганцю на електропровідність сплаву Cu10Zn1Al у литому (1) та відпаленому (2) станах при частоті електромагнітного потоку 240 Гц

З графіків видно, що заданий рівень електропровідності, а саме 18% IACS, для сплаву Cu22,5Zn0,5Al досягається при вмісті Mn близько 1,5%, для сплаву Cu10Zn1Al – при 3%.

Для подальших корозійних випробувань були обрані сплави Cu22,5Zn0,5Al1,5Mn та Cu10Zn1Al3Mn.

Для монет однією із характерних умов протікання корозійних процесів, є контакт зі шкірою людини при кімнатній температурі, тому відомо, що основними показниками корозійної стійкості монет є результати досліджень у вологому середовищі, яке імітує піт та слину [5]. В зв'язку з цим корозійні випробування монетних сплавів на основі міді проводили за допомогою стандартних методик (ГОСТ 9.905-82) в середовищах, які близькі за складом до поту та слини людини.

Хімічний склад агресивних середовищ наведено в табл. 1.

Таблиця 1 – Хімічний склад агресивних середовищ

Штучна «слина» (рН 9)	Штучний «піт» (рН 3)
бікарбонат натрію (NaHCO ₃) – 2,1 г	хлорид натрію (NaCl) – 5,0 г
хлорид натрію (NaCl) – 0,25 г	двузаміщений фосфат натрію – 0,625 г
карбонат калію (K ₂ CO ₃) – 0,1г	80% молочна кислота CH ₃ CH(OH)COOH – 0,625 мл
вода дистильована – 500 мл	вода дистильована – 500 мл

Для досліджень попередньо підготовлені зразки поміщали в скляні ємності по дві штуки і заливали агресивною рідиною (100 мл). Обов'язково контролювали рН агресивного середовища. Періодичність вимірювань зміни маси зразка становила: у перші 4 год. – через кожну годину, потім через кожні 24 год.

Для наближення умов випробувань до реальних, зразки двічі на добу виймали і витримували на повітрі протягом двох годин.

Після закінчення часу випробувань зразки виймали з агресивного середовища, промивали питною і дистильованою водою для видалення продуктів корозії. На аналітичних вагах фіксували масу зразка.

У тих випадках, коли продукти корозії добре зчеплені з поверхнею металу і у процесі випробування не обсіпаються, корозію можна визначати і за збільшенням маси зразків.

Отримані дані по зміні маси в ході випробувань перераховувалися на швидкість корозії за формулою:

$$V_k = \frac{\Delta m}{S \cdot \tau} \text{ г/м}^2 \cdot \text{год}, \quad (1)$$

де V_k – швидкість корозії, г/м² · год.;

Δm – зміна маси, г;

S – поверхня зразка, м²;

τ – час випробувань, год.;

Допустима похибка результатів випробувань повинна бути не більше $2 \cdot 10^{-4}$ г.

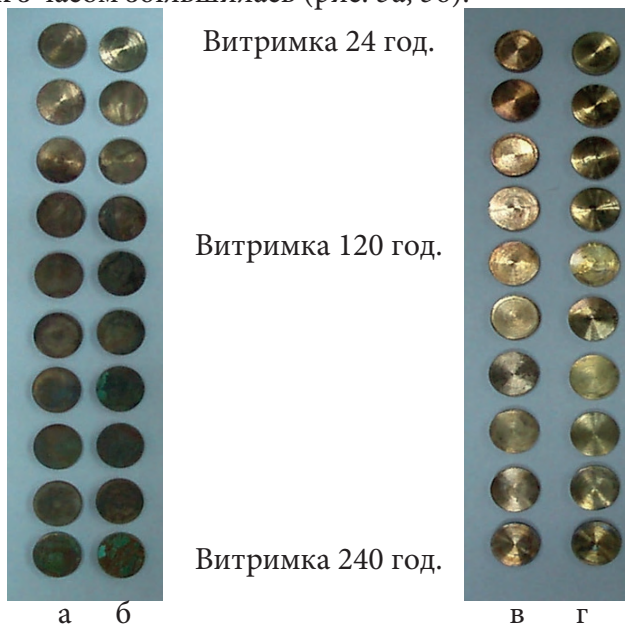
При випробуваннях в рідинх підтримувалася температура $+ 19 \pm 2$ °С. Тривалість випробувань становила 240 годин.

Візуальне спостереження за зразками показало, що в лужному середовищі, а саме в розчині, який імітував слину поверхня зразків суттєво не змінилася, залишився початковий металевий блиск (рис. 3в, 3г).

Низьку швидкість корозії в лужному середовищі підтвердили і побудовані графіки (рис. 4). В зв'язку з цим основна увага була направлена на дослідження корозійної стійкості в розчині, який імітував піт людини. Одержані дані представлено на рис. 5. Питома втрата маси для всіх вивчених сплавів близька до лінійного закону, але при цьому вони по різному взаємодіють з модельним потом. Відносно нижча корозійна стійкість в кислому середовищі сплаву системи Cu-Zn-Sn-Al-Mn пов'язана з утворенням хімічних сполук алюмінію з марганцем (Al₆Mn, Al₁₁Mn₄), які порушують щільність оксидної поверхневої плівки.

З графіків видно, що дещо вищу корозійну стійкість мають термооброблені зразки. Проте візуальний огляд показав потьм'яніння поверхонь всіх зразків (рис. 6). Режим термічного оброблення був таким самим, як і зразків для вимірювання електропровідності.

Візуальні спостереження показали, що через 24 год. витримки в кислому середовищі на поверхні зразків з'явилися коричнево-зелені плями площа яких з часом збільшилась (рис. 3а, 3б).



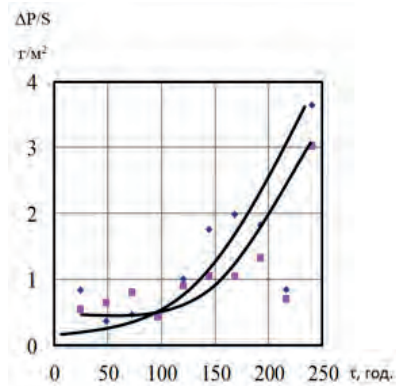
а) Зразки зі сплаву Cu₁₀Zn₁Al₃Mn витримані у штучному «поті»

б) Зразки зі сплаву Cu_{22,5}Zn_{0,5}Al_{1,5}Mn витримані у штучному «поті»

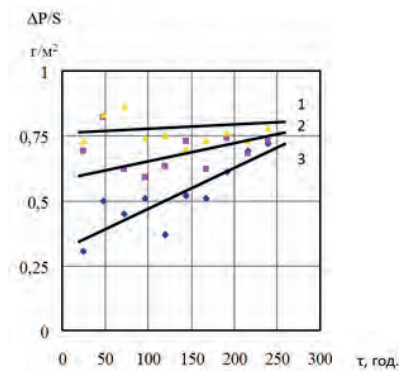
в) Зразки зі сплаву Cu₁₀Zn₁Al₃Mn витримані у штучній «слині»

г) Зразки зі сплаву Cu_{22,5}Zn_{0,5}Al_{1,5}Mn витримані у штучній «слині»

Рис. 3 Фото литих мідно-цинкових заготовок після витримки в агресивних середовищах



а)

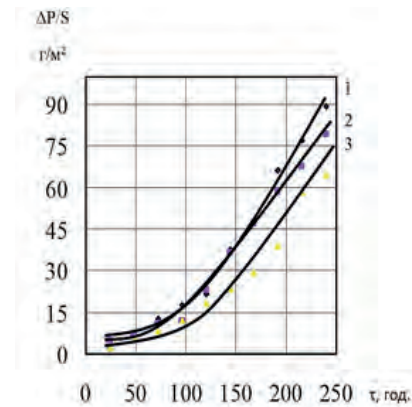


б)

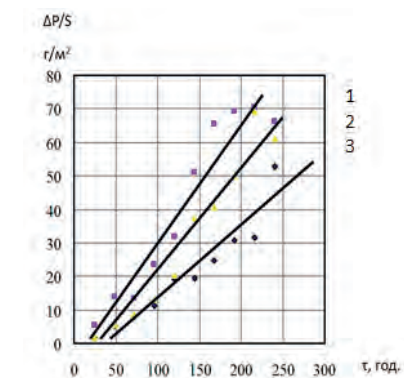
а) зразки в литому стані

б) зразки після термопластичної обробки

Рис. 4 Зміна втрати ваги сплавів Cu₁₀Zn₁Al₃Mn (1), Cu_{22,5}Zn_{0,5}Al_{1,5}Mn (2) та CuAl₆Ni₂ (3) в залежності від часу витримки в середовищі, що імітує слину (pH 9)



а)

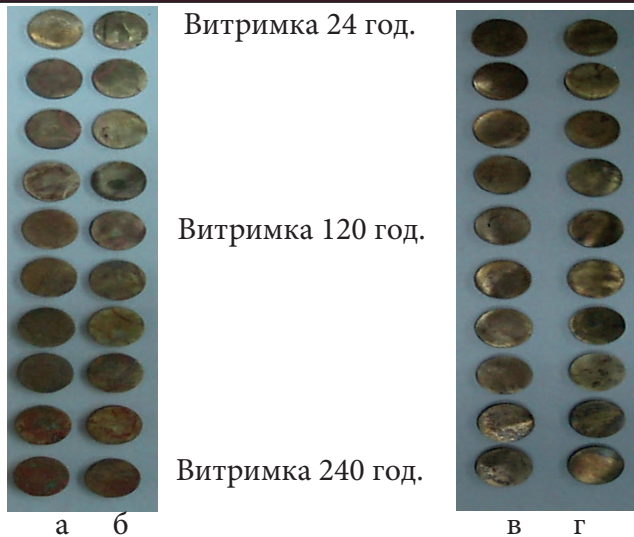


б)

а) зразки в литому стані

б) зразки після термопластичної обробки

Рис. 5 Зміна втрати ваги сплавів Cu₁₀Zn₁Al₃Mn (1), Cu_{22,5}Zn_{0,5}Al_{1,5}Mn (2) та CuAl₆Ni₂ (3) в залежності від часу витримки в середовищі, що імітує піт (pH 3)



- а) Зразки зі сплаву $\text{Cu}_{10}\text{Zn}_{1}\text{Al}_{3}\text{Mn}$ витримані у штучному «поті»
 б) Зразки зі сплаву $\text{Cu}_{22,5}\text{Zn}_{0,5}\text{Al}_{1,5}\text{Mn}$ витримані у штучному «поті»
 в) Зразки зі сплаву $\text{Cu}_{10}\text{Zn}_{1}\text{Al}_{3}\text{Mn}$ витримані у штучній «слині»
 г) Зразки зі сплаву $\text{Cu}_{22,5}\text{Zn}_{0,5}\text{Al}_{1,5}\text{Mn}$ витримані у штучній «слині»

Рис. 6 Фото мідно-цинкових заготовок після термопластичної обробки та витримки в агресивних середовищах

Висновки

1. Розроблено системи сплавів $\text{Cu}_{10}\text{Zn}_{1}\text{Al}_{3}\text{Mn}$ та $\text{Cu}_{22,5}\text{Zn}_{0,5}\text{Al}_{1,5}\text{Mn}$, які мають електропровідність рівну 18...19% ІАСС, що практично задовольняє вимогам до монетних сплавів. В обох випадках введення легуючих елементів в кількості від 0,5...3 мас.% призводить до зменшення електропровідності;

2. Корозійна стійкість розроблених сплавів вища, ніж у порівнянні з БрАН6-2. Кращу корозійну стійкість зразки мають у лужному середовищі.

Література

1. Анатолій Верховлюк, Володимир Лахненко, Олександр Щерецький, Руслан Сергієнко, Марія Науменко, Володимир Апухтін, Олександр Науменко. Основні принципи розробки монетних сплавів з заданою електропровідністю // Вісник Національного банку України. – 2015. – №6. – С. 29-33
2. Верховлюк А.М., Беспалый А.А., Науменко М.И., Апухтин В.В. Влияние Si и Fe на удельную электропроводность латуней в литом состоянии и после термической обработки // Процессы литья. – 2012. - №6. – С. 50-54
3. Шумихин В. С., Плитченко В.В., Апухтин В. В. Влияние примесей железа и марганца на электропроводность литых латунных заготовок // Процессы литья, – 2008. – № 2. – С. 62-64
4. В. В. Плитченко, В. С. Шумихин, Г. В. Петрина Удельная электропроводимость как функциональный параметр монетных сплавов // Металл и литье Украины. – 2007. – № 8. – С. 30-34
5. Анатолій Верховлюк, Володимир Лахненко, Олександр Щерецький, Руслан Сергієнко, Марія Науменко, Володимир Апухтін. Корозійні властивості монетних матеріалів // Вісник Національного банку України. – 2014. – №12. – С. 50-54